

(1)

Forza di gravità tra corpi esteri

$$\vec{F} = \sum_{i'} \vec{F}_i$$

$$\vec{F} = - \sum_{i'} G \frac{m_i m_0}{r_{i0}^2} u_{r0}$$

- Per una distribuzione continua $m_i \rightarrow dm$ e per tramite delle densità $dm = \rho dV$ - In genere c'è $\rho = \rho(r)$, funzione del posto

$$\vec{F}_M = - \int_M G \frac{m dm(r)}{r^2} \vec{u}_r = - \int_V G \frac{\rho dV}{r^2} \vec{u}_r$$

Integrazione su r con $\rho(r)$, $\frac{1}{r^2}$ e \vec{u}_r funzioni di r - Situazioni molto complicate -

- Se anche M è un corpo estero, complica ulteriormente. F risultante tra i due corpi è la somma vettoriale di tutte le forze tra tutte le coppie di punti

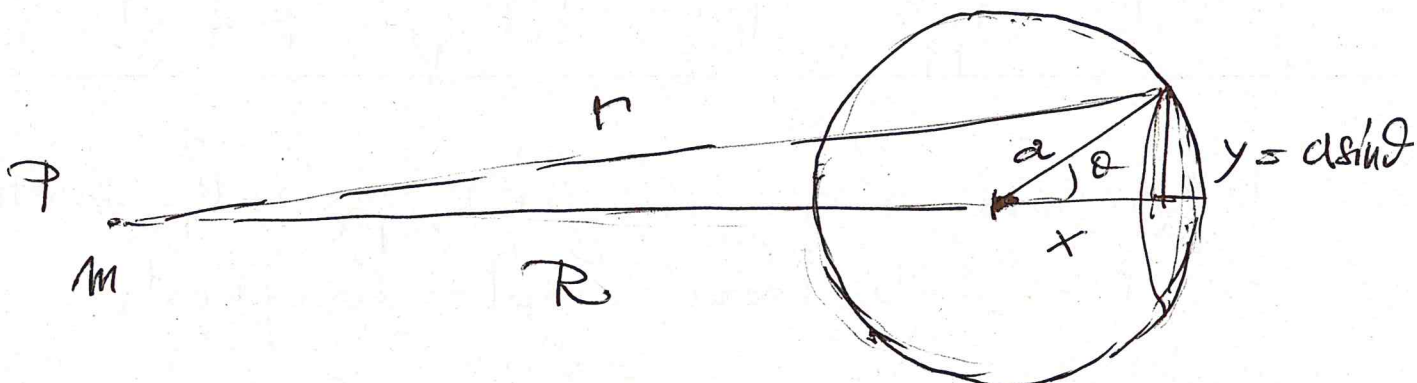
$$\vec{F} = - \iint_{V_1 V_2} G \frac{\rho_1 \rho_2}{r_{12}^2} \vec{u}_{r_{12}} dV_1 dV_2$$

Situazione più semplice per corpi a SIMMETRIA SFERICA (ed eventualmente omogenei)

→ buona appross per pianeti e corpi celesti

Moltre, poiché $\vec{F} = -\nabla F_p$ è univocamente determinata da F_p , conviene calcolare F_p evitando le complicazioni del calcolo vettoriale

- F_p tra massi puntiformi m e SFERA CAVA (calcolo su Halliday-Resnik) :



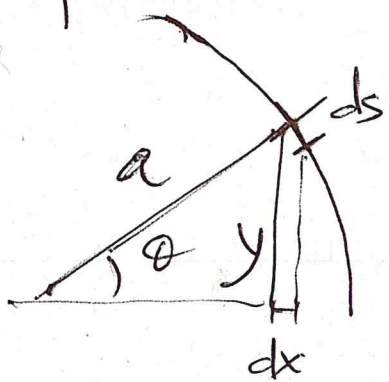
Sfera cava di raggio a e massa M -

omogenea $\rightarrow \mu = M / 4\pi a^2$ densità superficiale di massa

Per motivi di simmetria \vec{F} è diretta lungo la congiungente tra P e il centro della sfera - [Componenti ortogonali di \vec{F} si elidono]

Poiché \vec{F} è diretta lungo R ($\vec{F} = F \hat{u}_R$),
 l'energia potenziale varia lungo R (superficie
 equipotenziali hanno R costante) - (2)

Per mantenere l' simmetria, calcoliamo E_p
 a partire dal contributo dell'interazione tra
 M e un anello delle sfere di raggio y
 e spessore ds .



$$y = a \sin \theta$$

$$dx = ds \sin \theta$$

$$dm = \mu 2\pi y ds =$$

$$dm = \mu 2\pi a \sin \theta ds =$$

Massa dell'anello: $dm = \mu 2\pi a dx$

Distanza dei punti dell'anello da \vec{P} :

$$r^2 = (R + x)^2 + y^2 = R^2 + 2Rx + a^2$$

Variabilità della distanza (differenziale):

$$d(r^2) = 2r dr = d(R^2 + 2Rx + a^2)$$

$$= 2R dx \quad [R \text{ e } a \text{ sono fissi}]$$

Dunque $dx = \frac{r dr}{R}$ e possiamo
risalire la massa dell'anello in funzione
di r :

$$dm(r) = \frac{\mu 2\pi a}{R} r dr$$

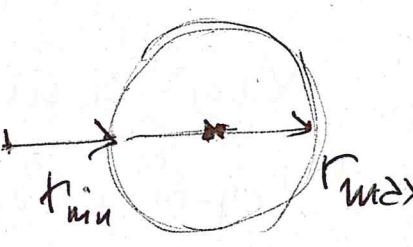
L'energia potenziale tra due masse elementari
a distanza r è (tutti i punti dell'anello)
distano r

$$E_p(r) = - \frac{G m dm}{r}$$

Sostituendo l'espressione di dm :

$$E_p(r) = - \frac{G m \mu 2\pi a}{R} dr$$

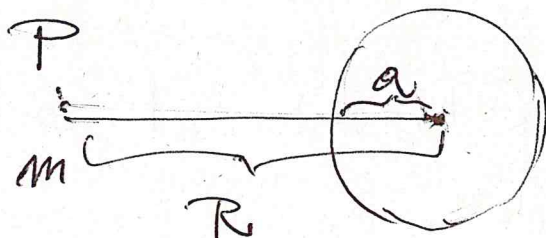
L'energia potenziale complessiva, dovuta a
tutta la sfera cava, si ottiene sommando
(cioè facendo l'integrale) su tutti gli anelli

$$E_p = - \frac{G m \mu 2\pi a}{R} \int_{r_{\min}}^{r_{\max}} dr$$


Due situazioni differenti :

(3)

1) P esterno alla sfera cava :

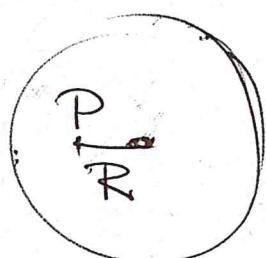


$$\left\{ \begin{array}{l} r_{\min} = R - a \\ r_{\max} = R + a \end{array} \right.$$

$$\begin{aligned} E_p &= -\frac{G m \mu 2\pi a}{R} \int_{R-a}^{R+a} dr \\ &= -\frac{G m \mu 2\pi a}{R} [(R+a) - (R-a)] \\ &= -\frac{G m \mu 4\pi a^2}{R} = -\frac{G m M}{R} \end{aligned}$$

- È un potenziale equivalente a punto materiale di massa M nel centro

2) P interno alla sfera :



$$\left\{ \begin{array}{l} r_{\min} = a - R \\ r_{\max} = R + a \end{array} \right.$$

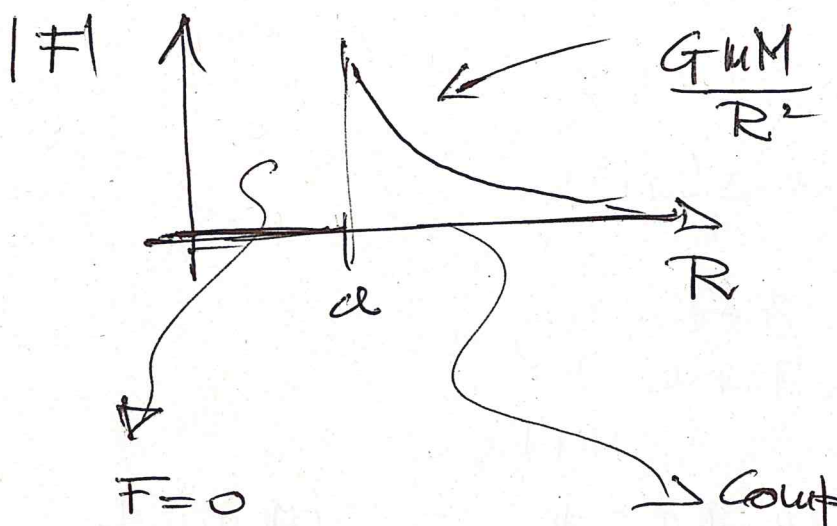
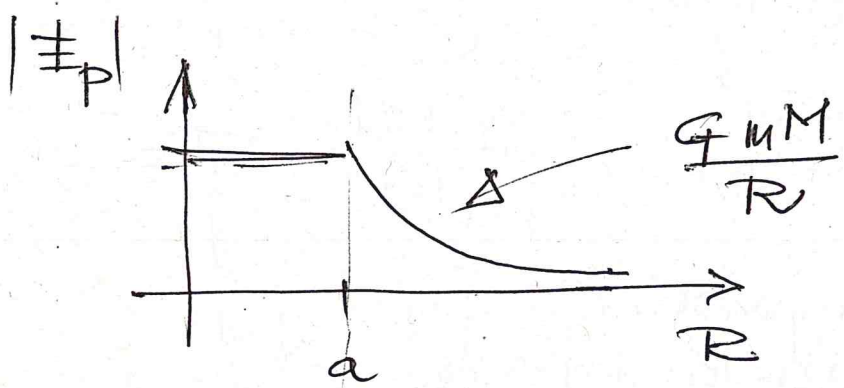
$$\begin{aligned} E_p &= -\frac{G m \mu 2\pi a}{R} \int_{a-R}^{a+R} dr = -\frac{G m \mu 4\pi a}{R} \end{aligned}$$

$$= -\frac{G m M}{a} \rightarrow \text{costante indip di } R$$

Per la forza $F(R) = -\frac{dE_p}{dR}$

$$F(R) = \begin{cases} 0 & \text{per } R < a \\ -\frac{GM}{R^2} & \text{per } R > a \end{cases} \quad \begin{matrix} \text{P. interno} \\ \text{P. esterno} \end{matrix}$$

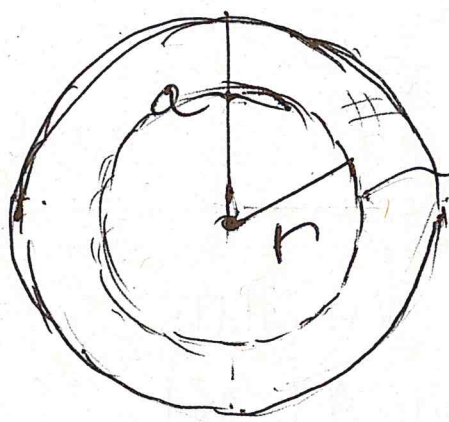
Nota: per $R = a$ il risultato per P interno e P esterno coincidono



Comportamento
come gds materiali

(4)

SFERA PIENA omogenea di raggio a



$dm(r)$

massa di una sfera
cava (vuoto) di raggio r

$$M = \int_0^a dm(r)$$

Somma (infinita) di
gusci sfenici di
spessore infinitesimo

Per ciascun guscio l'espressione della forza su
un punto di massa m è:

$$dF(dm) = \begin{cases} 0 & \text{per } R < r \\ -\frac{Gm dm}{R^2} & \text{per } R > r \end{cases}$$

La forza complessiva è la somma (integrale) di
tutte le forze dovute a ciascun guscio (concentrici
e dunque tramane le simmetrie del problema)

$$F = \int_0^R dF(r) = -\frac{Gm}{R^2} \int_0^R dm$$

Due casi a seconda di R interno o est. alla sfera

Caso A : Punto esterno alla sfera ($R \geq a$)

$$F = -\frac{GM}{R^2} \int_0^a dm = -\frac{GM}{R^2} M$$

Risultato equivalente alla forza esercitata da un punto materiale di massa M nel centro della sfera. Il risultato è ovvio, indipendentemente dagli aspetti formali della integrazione: il punto è esterno a tutti i gusci e F relativa a ciascun guscio dipende solo da R (identico per tutti i gusci, poiché riferito al centro) e dalla massa del guscio, ma non del resto del guscio. Dunque per la sfera l'unica dipendenza è dalla somma delle masse dei gusci, cioè la massa totale.

Caso B : Punto interno alla sfera ($R \leq a$)

I gusci a $r > R$ non danno contributo a F ($F = 0$ per punti interni al guscio).

Solo la massa contenuta a raggi $r < R$ contribuisce alla forza -



(5)

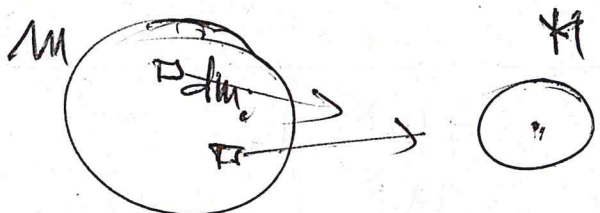
All'interno delle sfere forza centrale costante

$$F(R) = -\frac{GMm}{R^3} R \quad R < a$$

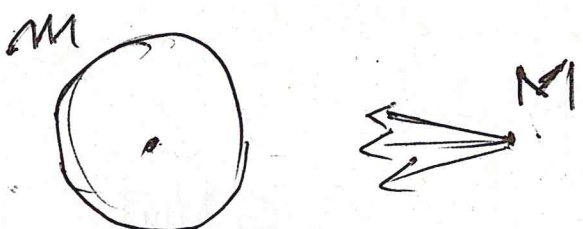
Per un punto esterno alle sfere, la forza
è equivalente a quella tra due punti

Materiale -

- Generalizzazione a corpi sferici omogenei



1) Per ogni elemento dm, la sfera di massa M
è equivalente a un pto
materiale nel centro



2) Azione - Reazione:
Forza tra M (equivalente)
e sfera m

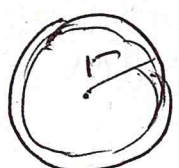
3) Dimostrato che per punto e sfera, q.s. forza
è equivalente a $F = -\frac{GMm}{R^2}$
con R distanza tra i centri

$$F = -\frac{GM}{R^2} \int_0^R dm$$

Pu sfera omogenea : $\rho = \frac{M}{V} = \frac{M}{\frac{4}{3}\pi a^3}$ e la

Massa di un guscio di raggio r e spessore dr

$$dm = \rho 4\pi r^2 dr$$



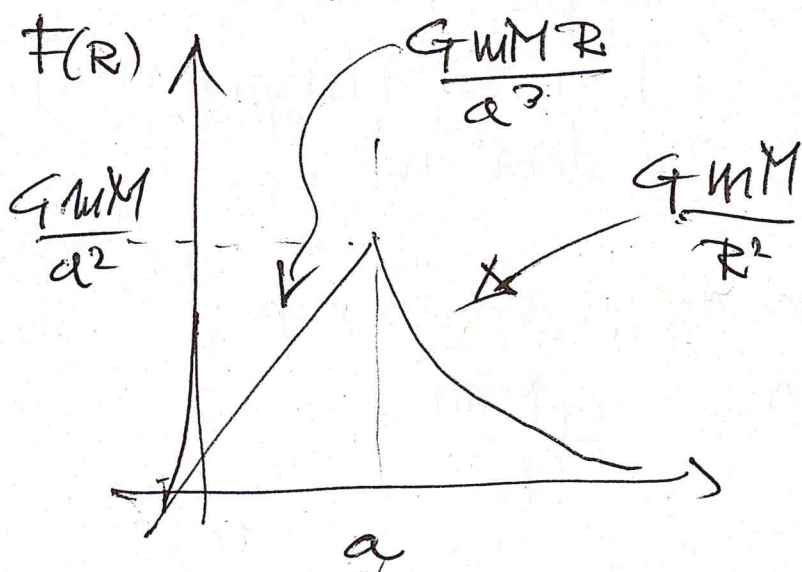
$$V = 4\pi r^2 dr$$

$$= S dr$$

$$F = -\frac{GM}{R^2} \int_0^R \rho 4\pi r^2 dr = -\frac{GM 4\pi}{R^2} \int_0^R r^2 dr$$

$$\rightarrow -\frac{GM 4\pi \rho}{R^2} \frac{R^3}{3} = -\frac{GM M}{a^3} R$$

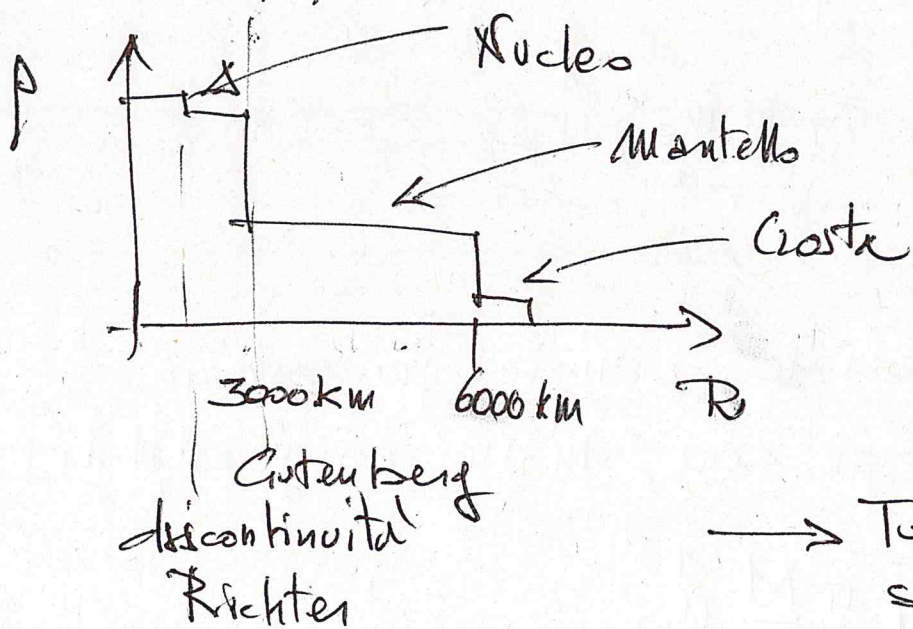
Forza per sfera omogenea



$$F(R) = \begin{cases} -\frac{GMmR}{a^3} & \text{ext.} \\ -\frac{GMm}{R^2} & \text{int.} \end{cases}$$

Sfera non omogenea, e SIMMETRIA SPERICA (Teorema) (6)

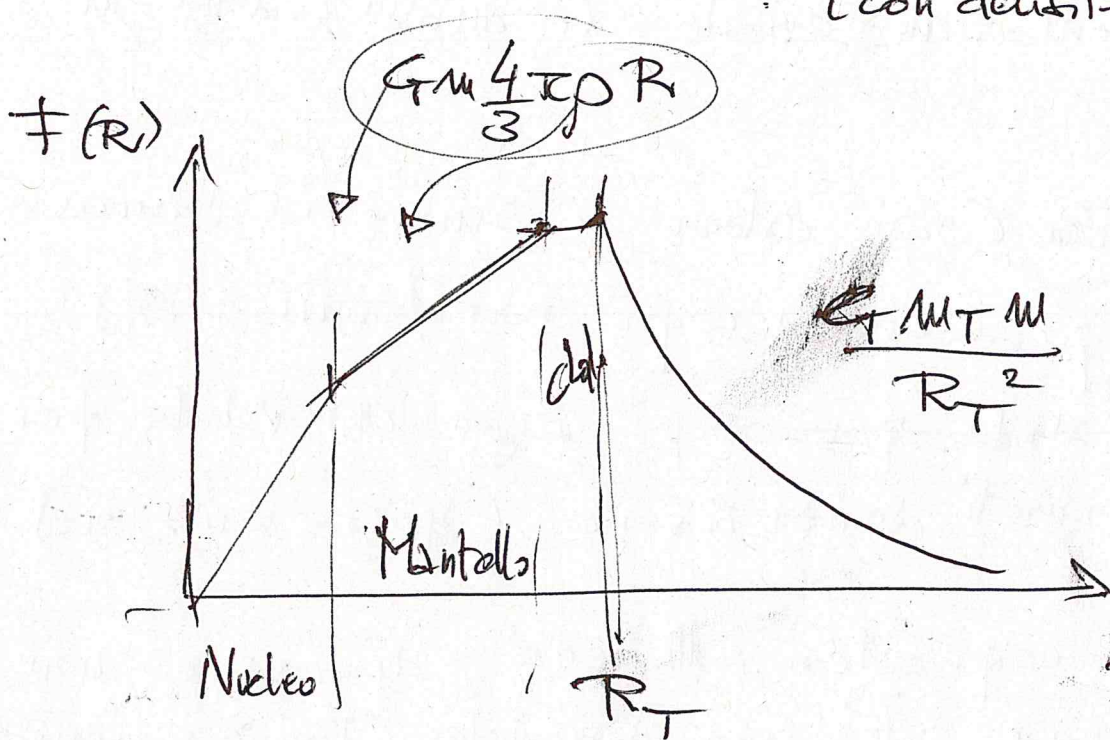
Terra: profilo di densità variabile con R



→ Tuttavia sistema a simmetria sferica

Valgono le

Soluzioni a Gusci
(con densità variabile)



Ricapitolando :

1) Leggi di Keplero \rightarrow legge di Forza

$$\vec{F} = -G \frac{m_1 m_2}{r^2} \hat{u}_r \quad (*)$$

2) Legge universale , anche per sistemi
di due corpi con masse confrontabili

$$\vec{F}_M = -G \frac{\mu M}{r^2} \hat{u}_r$$

Centro delle forze = centro di massa

Punto materiale di massa indicata μ

3) ~~Per~~ Corpi esteri a simmetria sferica
equivalenti a corpi pertiformi ~~o~~

~~Valida per corpi~~ Legge (*) valida per
pianeti senza luce (approx unif. ok)

4) Per corpi esteri sulla terra , di forme non
sferiche, \vec{F} sono parallele ($R_T \gg$ dimensioni
effetti) \rightarrow Per teorema CdM risultante
 $F_{ext}(R_T)$ agisce su CdM come se tutta
la massa fosse in quel punto

Applicazione 1 : Orbite circolari (e velocità) (7)
di un sistema di punti orbitanti entro una
distribuzione di masse omogenea sferica di raggio R

$$R < R_0 \quad F(R) = \frac{GM}{R^3} \quad R$$

Acc. centripeta su orbita circolare di raggio R

$$M \frac{\dot{r}^2}{R} = \frac{GM}{R^3} \quad R$$

$$\frac{\dot{r}^2}{R^2} \rightarrow \boxed{\dot{r}^2 / R}$$

La velocità è proporzionale a R - In altri termini la velocità angolare è identica per ogni orbita circolare : $\dot{r} = \omega R$

Il sistema è COROTANTE - Tolti i corpi orbitanti si muovono su orbite con velocità cost. ω , come se si trattasse di un 'corpo fijo'

→ E' il moto che si osserva per le stelle nel centro delle galassie ⇒ Le stelle sono all'interno di una DISTRIBUZIONE DI MASSA OMOGENA ($\rho = \text{costante}$)

Applicazione 2 : Velocità di un sistema di corpi orbitanti a $R > R_o$

stato di rotazione delle stelle nei bracci delle galassie o nelle regioni intorno al nucleo

$$m \frac{\sigma^2}{R} = \frac{GMm}{R^2} \Rightarrow \sigma \propto \frac{1}{\sqrt{R}}$$

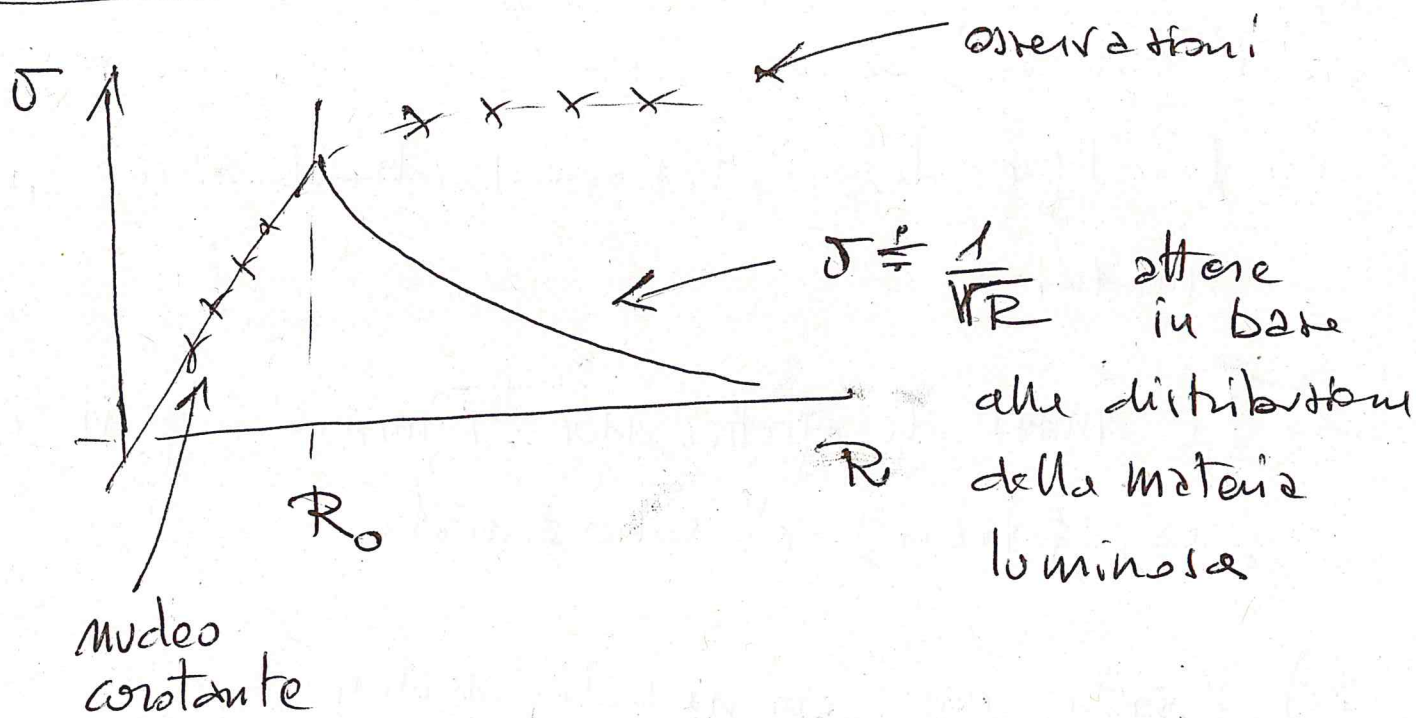
La velocità diminuisce allontanandosi dal centro galattico (orbite kepliane come per un sistema planetario con massa concentrata nel sole)

x Galassie a spirale caratterizzate da un disco fisso con nucleo luminoso (costante) e da un alone sferico - Si definisce raggio ottico R_o la distanza dal centro del disco a cui la luminosità diventa uguale alla luminosità di fondo cosmico, cioè dove la materia visibile non è più distinguibile

x Ci si attende che per $R > R_o$, σ dei corpi celesti diminuisce come $1/\sqrt{R}$ (rivelati in banda radio, visto che non sono visibili in banda ottica fuori dal raggio ottico).

(8)

Risultati osservazionali



Si osserva che per $R > R_0$ $\Sigma = \text{cost.}$

→ distribuzione di massa (simmetria sferica) :

$$M \frac{\Sigma^2}{R} = G \frac{m M(R)}{R^2} \Rightarrow M(R) \propto R$$

La massa contenuta entro un raggio di raggio R continua a crescere, proporzionalmente a R , ben oltre la dimensione del raggio ottico [Nota, la massa cresce con R , ma il volume con R^3 . La densità diminuisce allontanandosi, ma non è nulla]

Qs massa, legata gravitazionalmente alla galassia, non è visibile \Rightarrow MATERIA OSCURA

Possibilità

- 1) La legge di gravitazione richiede una Materia
- 2) La massa di oggetti non luminosi (planeti, gas, polveri) è sotto stimata
- 3) Esiste una forma di materia con proprietà di interazioni non note
(si grava, no e.m., ...)

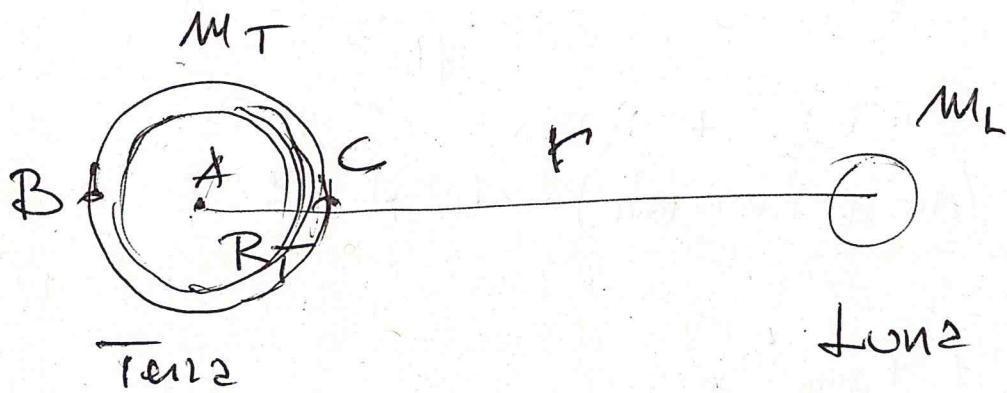
Ni sono altre ~~forze~~ indicazioni cosmologiche di materia oscura -

La ricerca di materia oscura "corpuscolare"
è un fronte avance della ricerca -

- * indiretta \rightarrow interazioni rare di urti su nuclei di materia ordinaria
- * diretta \rightarrow produzione e collisione di particelle (LHC)

Forze di Maree

(9)



Scomponiamo M_T in elementi dm_A, dm_B, dm_C
e calcoliamo interazione tra luna (pontiforme)
ai punti A, B, C -

$$F_A = \frac{G M_L dm}{r^2}$$

$$F_{B,C} = \frac{G M_L dm}{(r \pm R_T)^2} \approx \frac{G M_L dm}{r^2} \left(1 \mp 2 \frac{R_T}{r}\right) \quad (*)$$

$$\begin{aligned} \text{Usata appross: } & (r \pm R_T)^2 = r^2 \left(1 \pm \frac{R_T}{r}\right)^2 = \\ & = r^2 \left(1 \pm 2 \frac{R_T}{r} + \frac{R_T^2}{r^2}\right) \text{ trascurabile} \end{aligned}$$

Differenza di Forza tra i punti -

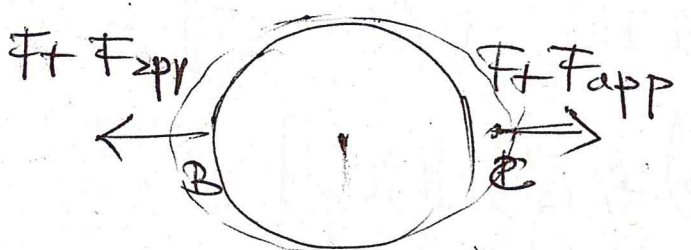
Il punto A "cade" verso la luna con accelerazione contrapposta F_A - Il moto di B e C nel riferimento di A include la forza reale F_B e F_C di (*) e $\boxed{F_{app.}}$

$$F_{app} = -dm \alpha_{NI} = -dm \frac{F_A}{dm} = -F_A$$

Nel riferimento (non ineriale) di A:

$$\begin{aligned} F'_{B,C} &= F_{B,C} + F_{app} = \\ &= \overline{F}_{B,C} - F_A = \\ &= F_A \left(1 + \frac{2R_T}{r} \right) - F_A \\ &\Rightarrow 2F_A \frac{R_T}{r} \quad \text{segni opposti!} \end{aligned}$$

→ l'acqua si solleva da entrambi i parchi



$$- 2 \frac{GM}{r^3} R_T$$



• Marea solare/lunare: Rapporto di forza di marea

$$\frac{F_L}{F_S} = \frac{M_L / R_L^3}{M_S / R_S^3} = \frac{\rho_L (R_L / R_S)^3}{\rho_S (R_S / R_L)^3} \approx \frac{\rho_L}{\rho_S} \approx 3$$

Rapporti apparenti di Sole e Luna sono identici (Eclissi)

Maree lunari più intense